### e finalmente, GWS

fermioni I.h. in doppietti di isospin, fermioni r.h. in singoletti

$$\begin{bmatrix} \nu_e \\ e^- \end{bmatrix}_L \quad \nu_{eR} \qquad \begin{bmatrix} \nu_\mu \\ \mu^- \end{bmatrix}_L \quad \nu_{\mu R} \qquad \begin{bmatrix} \nu_\tau \\ \tau^- \end{bmatrix}_L \quad \nu_{\tau R} \qquad \begin{bmatrix} u \\ t \end{bmatrix}_L \quad v_{\tau R} \qquad \begin{bmatrix} u \\ d \end{bmatrix}_L \quad u_R \qquad \begin{bmatrix} c \\ s \end{bmatrix}_L \quad c_R \qquad \begin{bmatrix} t \\ b \end{bmatrix}_L \quad t_R \qquad b_R \qquad$$

simmetrie locali di gauge per isospin e ipercarica bosoni vettori di gauge

$$SU(2)$$
 isospin  $W^i_{\mu}$  isotriplet  $i=1,2,3$   
 $U(1)$  hypercharge  $B_{\mu}$ 

## ipercarica debole

$$j_{\mu}^{em} = j_{\mu}^{3} + \frac{1}{2} j_{\mu}^{Y} \qquad I \qquad I_{3} \qquad Q \qquad Y$$

$$V_{e} \qquad 1/2 \qquad 1/2 \qquad 0 \qquad -1$$

$$Y = 2 (Q-I_{3}) \qquad e^{-}_{L} \qquad 1/2 \qquad -1/2 \qquad -1 \qquad -1$$

$$e^{-}_{R} \qquad 0 \qquad 0 \qquad -1 \qquad -2$$

$$u_{L} \qquad 1/2 \qquad 1/2 \qquad 2/3 \qquad 1/3$$

$$Y = 2 < Q > \qquad d'_{L} \qquad 1/2 \qquad -1/2 \qquad -1/3 \qquad 1/3$$

$$u_{R} \qquad 0 \qquad 0 \qquad 2/3 \qquad 4/3$$

$$d'_{R} \qquad 0 \qquad 0 \qquad -1/3 \qquad -2/3$$

# Lagrangiana elettrodebole invariante sotto SU(2)<sub>isospin</sub> e U(1)<sub>Y</sub>

BJ 13.6.6

$$L = i\overline{\psi}_L \gamma^\mu \partial_\mu \psi_L + i\overline{\psi}_R \gamma^\mu \partial_\mu \psi_R$$

$$D_{\mu} = \partial_{\mu} + ig\vec{I}\vec{W}_{\mu} + i\frac{g'}{2}YB_{\mu}$$

$$\vec{W}_{\mu} \to \vec{W}_{\mu} + \partial_{\mu} \vec{\Lambda}(x) + g \vec{\Lambda}(x) \wedge \vec{W}_{\mu} \qquad \iff SU(2)_{\text{isospin}}$$

$$B_{\mu} \to B_{\mu} + \partial_{\mu} \lambda(x) \qquad \iff U(1)_{Y}$$

$$\Rightarrow L = i\overline{\psi}_{L}\gamma^{\mu} \left[ i\partial_{\mu} - g\vec{I}\vec{W}_{\mu} - \frac{g'}{2}YB_{\mu} \right] \psi_{L} + i\overline{\psi}_{R}\gamma^{\mu} \left[ i\partial_{\mu} - \frac{g'}{2}YB_{\mu} \right] \psi_{R}$$

a cui possiamo aggiungere i termini cinetici  $-\frac{1}{4}\vec{W}_{\mu\nu}\vec{W}^{\mu\nu} - \frac{1}{4}B_{\mu\nu}B^{\mu\nu}$ 

10/05/2009

## Lagrangiana di un campo scalare complesso invariante sotto SU(2)

$$L = (\partial_{\mu}\varphi)^{\dagger}(\partial^{\mu}\varphi) - \mu^{2}\varphi^{\dagger}\varphi - \lambda(\varphi^{\dagger}\varphi)^{2}$$

BJ 13.6.11

$$\varphi = \frac{1}{\sqrt{2}} \left( \begin{array}{c} \varphi_1 + i\varphi_2 \\ \varphi_3 + i\varphi_4 \end{array} \right)$$

$$\begin{split} D_{\mu} &= \partial_{\mu} + ig \frac{\vec{\tau} \vec{W}_{\mu}}{2} \\ \vec{W}_{\mu} &\to \vec{W}_{\mu} - \frac{1}{\sigma} \partial_{\mu} \vec{\Lambda}(x) - \vec{\Lambda}(x) \wedge \vec{W}_{\mu} \end{split}$$

$$\Rightarrow L = \left(\partial_{\mu}\varphi + ig\frac{\vec{\tau}\vec{W}_{\mu}}{2}\varphi\right)^{\dagger} \left(\partial^{\mu}\varphi + ig\frac{\vec{\tau}\vec{W}^{\mu}}{2}\varphi\right) - \mu^{2}\varphi^{\dagger}\varphi - \lambda(\varphi^{\dagger}\varphi)^{2}$$

e infine usiamo il meccanismo di Higgs, 
$$\varphi = \frac{1}{\sqrt{2}} \begin{pmatrix} \varphi_1 + i\varphi_2 \\ \varphi_3 + i\varphi_4 \end{pmatrix} \rightarrow \varphi = \frac{1}{\sqrt{2}} \begin{pmatrix} 0 \\ v - H(x) \end{pmatrix}$$

10/05/2009

# la Lagrangiana elettrodebole

$$\mathcal{L} = \mathcal{L}_{gauge} + \mathcal{L}_{fermions} + \mathcal{L}_{Higgs}$$

il primo termine è dato da:  $\mathcal{L}_{gauge} = -\frac{1}{4}W^i_{\mu\nu}W^i_{\mu\nu} - \frac{1}{4}B_{\mu\nu}B_{\mu\nu}$ dove i tensori dei campi sono dati da:

$$W_{\mu\nu} = \partial_{\mu}W_{\nu} - \partial_{\nu}W_{\mu} - ig[W_{\mu}W_{\nu} - W_{\nu}W_{\mu}]$$

$$B_{\mu\nu} = \partial_{\mu}B_{\nu} - \partial_{\nu}B_{\mu}$$

il secondo termine è

dove, ad esempio

$$\mathcal{L}_{fermions} = \sum_{f} (\overline{L}_{f} D L_{f} + f_{R} D f_{R})$$

$$\overline{L}_{e} D L_{e} = (\overline{v}_{L} \quad \overline{e}_{L}) D \begin{pmatrix} v_{L} \\ e_{L} \end{pmatrix}$$

le derivate covarianti contengono sia l'accoppiamento con W, con costante g, sia l'accoppiamento con B, con costante g':

30

si noti che non sono introdotti termini di massa, che romperebbero la invarianza isotopica  $-m\overline{e}e = -m\overline{e}\left|\frac{1}{2}(1-\gamma^5) + \frac{1}{2}(1+\gamma^5)\right|e = -m(\overline{e}_R e_L + \overline{e}_L e_R)$ 

#### i bosoni carichi

Notiamo che nella derivata covariante può essere fatta la sostituzione:

$$I^{i}W_{\mu}^{i} = I^{1}W_{\mu}^{1} + I^{2}W_{\mu}^{2} + I^{3}W_{\mu}^{3} = I^{+}W_{\mu}^{+} + I^{-}W_{\mu}^{-} + I^{3}W_{\mu}^{3}$$

$$I^{+} = \frac{I^{1} + iI^{2}}{\sqrt{2}} = \frac{1}{\sqrt{2}} \begin{pmatrix} 0 & 1 \\ 0 & 0 \end{pmatrix} I^{-} = \frac{I^{1} - iI^{2}}{\sqrt{2}} = \frac{1}{\sqrt{2}} \begin{pmatrix} 0 & 0 \\ 1 & 0 \end{pmatrix}$$

$$W^{+} = \frac{W^{1} - iW^{2}}{\sqrt{2}}, W^{-} = \frac{W^{1} + iW^{2}}{\sqrt{2}}$$

In questa forma si esplicita che i primi due termini nell'interazione trasformano un fermione down nel fermione up e viceversa, sono quindi i termini corrispondenti alla corrente carica debole. Il terzo termine è invece diagonale, come *B*, e corrisponde alla corrente debole neutra

10/05/2009

#### la componente di Higgs della lagrangiana

$$\mathcal{L}_{Higgs} = \left| D_{\mu} \phi \right|^2 - \frac{\lambda}{2} \left( \left| \phi \right|^2 - \frac{v^2}{2} \right)^2 + \text{termini di interazione coi fermioni}$$

contiene i termini di interazione tra l'Higgs e i bosoni, e il potenziale di autointerazione già noti

dalla forma esplicita della derivata covariante di φ si ricavano i termini di massa dei bosoni, che risultano essere dati da

$$\frac{v^2}{4} \left( g W_{\mu}^{3} - g' B_{\mu} \right)^{2} + \frac{v^2}{4} g^2 W_{\mu}^{-} W^{+\mu}$$

dove il primo campo bosonico, ponendo  $\tan \vartheta = g \vee g$ 

diventa 
$$g\left(W_{\mu}^{3} - \frac{\sin\vartheta}{\cos\vartheta}B_{\mu}\right)$$
 e ponendo  $Z_{\mu} = \left(\cos\vartheta W_{\mu}^{3} - \sin\vartheta B_{\mu}\right)$ 

$$\frac{v^{2}}{4} \left( gW_{\mu}^{3} - g'B_{\mu} \right)^{2} + \frac{v^{2}}{4} g^{2}W_{\mu}^{-}W^{+\mu} = \frac{v^{2}}{4} \frac{g^{2}}{\cos^{2}\vartheta_{W}} Z_{\mu}Z^{\mu} + \frac{v^{2}}{4} g^{2}W_{\mu}^{-}W^{+\mu}$$

#### masse dei bosoni intermedi

la combinazione ortogonale  $A_{\mu} = \sin \vartheta_W W_{\mu}^3 + \cos \vartheta_W B_{\mu}$  rimane priva di massa e rappresenta il campo del fotone In tutto il percorso, il conteggio dei gradi di libertà è ancora una volta rispettato:

4 vettori a massa nulla + 4 scalari =

3 vettori massivi + 1 vettore a massa nulla + 1 scalare

#### Le masse sono quindi:

$$\begin{array}{ll} charged\ weak\ bosons\ W^{\pm} & M_{W^{\pm}}^{2} = \frac{1}{4}g_{W}^{2}v^{2} \\ neutral\ weak\ boson\ Z & M_{Z}^{2} = \frac{1}{4}(g_{W}^{2} + g_{W}^{\prime 2})v^{2} \\ photon\ \gamma & M_{\gamma}^{2} = 0 \end{array} \Rightarrow \frac{M_{w}}{M_{Z}} = \cos\vartheta_{w}$$

combinando la prima relazione con la relazione  $\frac{G_F}{\sqrt{2}} = \frac{g^2}{8M_W^2}$ 

si ottiene il valore di 
$$v$$
  $v = \left[1/\sqrt{2}G_F\right]^{1/2}$   $\simeq 246\,\mathrm{GeV}$ 

#### le masse dei fermioni

Nella Lagrangiana dell'Higgs i termini invarianti che rappresentano l'interazione tra leptoni e Higgs sono del tipo:

$$g_l\left(\overline{L}_l\phi l_r + \overline{l}_r\overline{\phi}L_l\right) \text{ che dopo la rottura spontanea} \quad \varphi(x) = \frac{1}{\sqrt{2}} \begin{pmatrix} 0 \\ v + H(x) \end{pmatrix}$$
 diventa 
$$\frac{g_l}{\sqrt{2}} \left(\overline{l}_L^d l_R^d + \overline{l}_R^d l_L^d\right) \left(v + H(x)\right) = \frac{g_l}{\sqrt{2}} \left(\overline{l}^d l^d\right) \left(v + H(x)\right)$$

il primo termine rappresenta l'interazione del leptone con lo stato fondamentale dell'Higgs, ossia il vuoto asimmetrico, ed appare come un termine di massa per il leptone, con

$$m_l = \frac{1}{\sqrt{2}} g_l v$$
 (il valore di  $g_l$  non è predetto dalla teoria)

il secondo termine rappresenta l'interazione del fermione col campo di Higgs, che risulta quindi proporzionale alla massa:  $\frac{m_f}{v} l \, \bar{l} \, H$ 

Estensione ai quark (o ai neutrini pesanti...)

$$g_f^d \bar{f}_L^d \varphi f_R^d + g_f^u \bar{f}_L^u \tilde{\varphi} f_R^u + \text{h.c.}$$

## la massa dell'Higgs

dalla Lagrangiana, la massa dell'Higgs è  $M_H^2 = \lambda v^2$ 

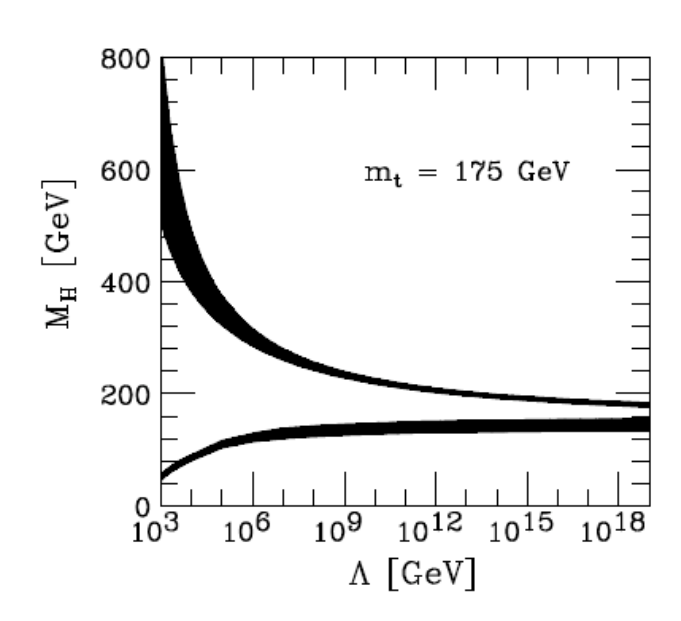
e quindi dipende dall'accoppiamento quartico, che è sconosciuto

Un primo limite si può porre dal limite unitario per la ampiezza

$$f_0[W_L W_L \to W_L W_L] \to \frac{G_F M_H^2}{4\sqrt{2}\pi}$$

da cui segue  $M_H^2 \leq 2\sqrt{2}\pi/G_F \sim (850\,\mathrm{GeV})^2$ 

Vedremo a suo tempo che si può poi porre un limite superiore ed inferiore in funzione della scala di validità dello SM, dovute rispettivamente alle correzioni dell'auto-interazione dovute ai loop con lo stesso Higgs (lim. superiore) e a quelli col top (lim. inferiore)



#### relazioni tra le costanti di accoppiamento

se riscriviamo la Lagrangiana fermionica per Z e A,

$$\begin{cases} A = W^{3} \sin \vartheta + B \cos \vartheta \\ Z = W^{3} \cos \vartheta - B \sin \vartheta \end{cases} \rightarrow \begin{cases} W^{3} = A \sin \vartheta + Z \cos \vartheta \\ B = A \cos \vartheta - Z \sin \vartheta \end{cases} \qquad gI^{3}W^{3} + g'\frac{Y}{2}B = \left(gI^{3} \sin \vartheta + g'\frac{Y}{2}\cos \vartheta\right)A + \left(gI^{3} \cos \vartheta - g'\frac{Y}{2}\sin \vartheta\right)Z$$

tenendo conto che  $Q=I_3+Y/2$ , il primo termine riproduce la corrente elettromagnetica se  $e=g'\cos\vartheta_W=g\sin\vartheta_W=\frac{gg'}{\sqrt{g^2+g'^2}}$ 

mentre l'accoppiamento a Z risulta proporzionale a

$$\left(g\cos\vartheta I^3 - g'(Q - I^3)\sin\vartheta\right)Z = \left(g\cos\vartheta I^3 - \frac{g\sin\vartheta}{\cos\vartheta}(Q - I^3)\sin\vartheta\right)Z = \frac{g}{\cos\vartheta}(I^3 - Q\sin^2\vartheta)Z$$

se poi confrontiamo la corrente neutra che ne risulta,

$$J_{\mu}^{NC} = j_{\mu}^{3} - \sin^{2}\vartheta_{W} j_{\mu}^{em} = \overline{u}_{f} \gamma_{\mu} \left[ \frac{1}{2} (1 - \gamma^{5}) I_{3} - Q \sin^{2}\vartheta_{W} \right] u_{f}$$

con la corrente neutra fenomenologica  $J_{\mu}^{NC} = \overline{u}_f \gamma_{\mu} \frac{1}{2} (c_V - c_A \gamma^5) u_f$ 

troviamo 
$$\begin{cases} c_v^f = I_3^f - 2Q^f \sin^2 \vartheta_w \\ c_A^f = I_3^f \end{cases}$$

(Tutte queste relazioni valgono per qualunque fermione, destro- o levo-giro) 10/05/2009

#### un semplice conto

Conoscendo v, e e  $\theta_{\rm w}$  si possono calcolare g, g',  $M_Z$  e  $M_W$ . Per usare le costanti misurate con maggior precisione, conviene usare  $G_F$ ,  $\alpha$  e  $M_Z$ .

$$e = \sqrt{4\pi\alpha} = g\sin\vartheta_{W} \qquad v = \sqrt{\frac{1}{G_{F}\sqrt{2}}}$$

$$M_{Z} = \frac{g}{2\cos\vartheta_{W}}v = \frac{g}{2\cos\vartheta_{W}}\sqrt{\frac{1}{G_{F}\sqrt{2}}}$$

$$M_{Z} = \frac{\sqrt{4\pi\alpha}}{2\cos\vartheta_{W}\sin\vartheta_{W}}\sqrt{\frac{1}{G_{F}\sqrt{2}}}$$

$$\cos\vartheta_{W}\sin\vartheta_{W} = \frac{1}{M_{Z}}\sqrt{\frac{\pi\alpha}{G_{F}\sqrt{2}}}$$

$$\alpha = \frac{1}{137.036}$$

$$G_F = 1.16637(1)$$

$$M_z = 91.187(2)$$

da cui si ricava

$$\sin^2\vartheta_W = 0.2121$$

$$M_W = 80.939(2)$$

contro un valore sperimentale

$$M_W = 80.40(3)$$

si ottiene un risultato incredibilmente preciso, ~6‰ ma anche incredibilmente sbagliato, 12 σ!

#### calcoletti di trigonometria...

$$\cos \vartheta_W \sin \vartheta_W = \frac{1}{2} \sin(2\vartheta_W)$$

$$\vartheta_W = \frac{1}{2} \arcsin(2\cos\vartheta_W \sin\vartheta_W)$$

$$\sin^2 \vartheta_W = \sin^2 \left(\frac{1}{2} \arcsin(2\cos\vartheta_W \sin\vartheta_W)\right)$$

$$\cos^{2}\vartheta_{W}\sin^{2}\vartheta_{W} = \frac{1}{M_{Z}^{2}}\frac{\pi\alpha}{G_{F}\sqrt{2}}$$

$$(1-\sin^{2}\vartheta_{W})\sin^{2}\vartheta_{W} = \frac{1}{M_{Z}^{2}}\frac{\pi\alpha}{G_{F}\sqrt{2}}$$

$$\sin^{4}\vartheta_{W} - \sin^{2}\vartheta_{W} + \frac{1}{M_{Z}^{2}}\frac{\pi\alpha}{G_{F}\sqrt{2}} = 0$$

$$\sin^{2}\vartheta_{W} = \frac{1}{2}\left(1-\sqrt{1-4\frac{1}{M_{Z}^{2}}\frac{\pi\alpha}{G_{F}\sqrt{2}}}\right)$$

# $SU(3)\times SU(2)\times U(1)$

La cromodinamica quantistica può essere inserita senza particolari problemi. La Lagrangiana di gauge diventa:

$$\mathcal{L}_{gauge} = -\frac{1}{4}W^{i}_{\mu\nu}W^{i}_{\mu\nu} - \frac{1}{4}B_{\mu\nu}B_{\mu\nu} - \frac{1}{4}G^{a}_{\mu\nu}G^{a}_{\mu\nu}$$

$$G^{a}_{\mu\nu} = \partial_{\nu}G^{a}_{\mu} - \partial_{\mu}G^{a}_{\nu} - g_{s}f^{abc}G^{a}_{\mu}G^{b}_{\nu}$$

le derivate covarianti diventano:

$$iD_{\mu} = i\partial_{\mu} + g_W I^i W^i_{\mu} - g'_W \frac{Y}{2} B_{\mu} + g_s T^a G^a_{\mu}$$

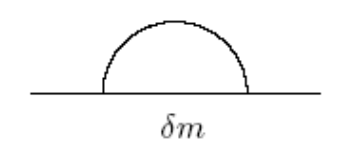
dove i  $G^a$  sono gli otto bosoni di gauge che rendono invariante la Lagrangiana,  $T^a$  sono i generatori (non commutanti) delle trasformazioni di colore, e  $g_s = \sqrt{4\pi\alpha_s}$  è la costante di accoppiamento forte

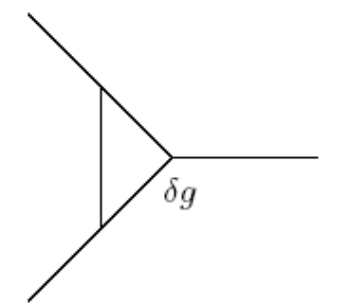
10/05/2009

con

# teorie di campo rinormalizzabili

Nei campi in interazione, il principio di indeterminazione consente l'emissione ed il riassorbimento di altri campi, secondo le interazioni ammesse per i campi di partenza. Questi effetti modificano, o "rinormalizzano", masse e costanti di accoppiamento. Questi effetti possono essere calcolati con i grafici di Feynman.





Tipici esempi sono le correzioni di autoenergia e di vertice, che divergono per accoppiamenti puntiformi come

$$\int d^4k/k^4 \sim \log \Lambda_{cut}^2$$
 , dove  $\Lambda_{cut}^{-1}$ 

è la scala fino alla quale l'interazione appare puntiforme. Le masse e le costanti di accoppiamento osservabili sono quelle rinormalizzate e la connessione con le costanti "nude" può essere espressa come:

$$m_0 + \delta m = m$$
  
 $g_0 + \delta g = g$ 

 $m_0+\delta m=m$  Perche i calcoli dolla necessario uno schema di calcolo che assorba in modo coerente tutte le divergenze nei termini nudi, modo coerente tutte le divergenze nel limite  $\Lambda_{cut}^{-1}$  -Perché i calcoli della teoria siano ben definiti, è  $\Lambda_{cut}^{-1} \rightarrow 0$ 

10/05/2009

# La teoria elettrodebole è rinormalizzabile t'Hooft, Veltman, 1971

10/05/2009 41

## l'esempio della QED

Se si calcolano le correzioni dovute ai diagrammi  $O(\alpha^2)$  al propagatore fotonico, si trova:

$$\frac{g_{\mu\nu}}{q^2} \to \frac{g_{\mu\nu}}{q^2} \left( 1 - I(q^2) \right)$$

$$I(q^2) = \frac{\alpha_0}{3\pi} \ln \left( \frac{\Lambda^2}{-q^2} \right) = \frac{\alpha_0}{3\pi} \ln \left( \frac{\Lambda^2}{Q^2} \right)$$
 (dove  $\alpha_0$  è la costante nuda)

e sommando su tutti gli ordini si ha:

$$\alpha = \frac{\alpha_0}{1 + \frac{\alpha_0}{3\pi} \ln\left(\frac{\Lambda^2}{Q^2}\right)}$$

benché la correzione sia infinita per  $\Lambda \to \infty$ , questa correzione è riassorbita in  $\alpha_{0,}$  non osservabile, lasciando  $\alpha$  rinormalizzata, ossia finita.

10/05/2009 42

## costanti running

Tuttavia rimane una debole dipendenza da  $Q^2$ . Infatti supponiamo di misurare  $\alpha$  ad un certo  $Q^2=\mu$ .

Avremo 
$$\alpha(\mu^2) = \frac{\alpha_0}{1 + \frac{\alpha_0}{3\pi} \ln\left(\frac{\Lambda^2}{\mu^2}\right)}$$

se ora misuriamo  $\alpha$  ad un altro  $Q^2$ , avremo

$$\alpha(Q^{2}) = \frac{\alpha_{0}}{1 + \frac{\alpha_{0}}{3\pi} \ln\left(\frac{\Lambda^{2}}{Q^{2}}\right)} = \frac{\alpha_{0}}{1 + \frac{\alpha_{0}}{3\pi} \left[\ln\left(\frac{\Lambda^{2}}{\mu^{2}}\right) + \ln\left(\frac{\mu^{2}}{Q^{2}}\right)\right]} = \frac{\alpha_{0}}{\alpha(\mu^{2})} = \frac{\alpha_{0}}{\alpha(\mu^{2})} = \frac{\alpha(\mu^{2})}{1 - \frac{\alpha(\mu^{2})}{3\pi} \ln\left(\frac{Q^{2}}{\mu^{2}}\right)} = \frac{\alpha(\mu^{2})}{1 - \frac{\alpha(\mu^{2})}{3\pi} \ln\left(\frac{Q^{2}}{\mu^{2}}\right)}$$

Come si vede, nella relazione tra i due  $\alpha$ è scomparsa ogni dipendenza da  $\alpha_0$ , non misurabile.

Tuttavia,  $\alpha$  dipende da  $Q^2$ , è una costante running